

Sistemas Cooperativos Geo-distribuídos para Monitoramento de Redes Sem-fio

Prof. Miguel Elias Mitre Campista

Monitoramento de Redes Sem-fio

- Uso de farejadores de tráfego
 - Capturam todos os pacotes enviados na rede
 - Problemas do meio sem-fio afetam o monitoramento
 - Nem todos os pacotes são capturados
1. Sammarco, M., Campista, M. E. M., and Amorim, M. D. - "*Trace Selection for Improved WLAN Monitoring*", in 5th ACM HotPlanet Workshop, pp. 9-14, Hong Kong, China, August 2013.
 2. Campista, M. E. M., Sammarco, M., Amorim, M. D., and Razafindralambo, T. - "*Monitoramento Colaborativo de Redes Sem-fio: Acurácia do Sistema e Denúncia de Farejadores Maliciosos*", in XIV Workshop em Desempenho de Sistemas Computacionais e de Comunicação - WPerformance 2015

Trace Selection for Improved WLAN Monitoring

**Matteo Sammarco², Miguel Elias M. Campista¹,
and Marcelo D. de Amorim²**

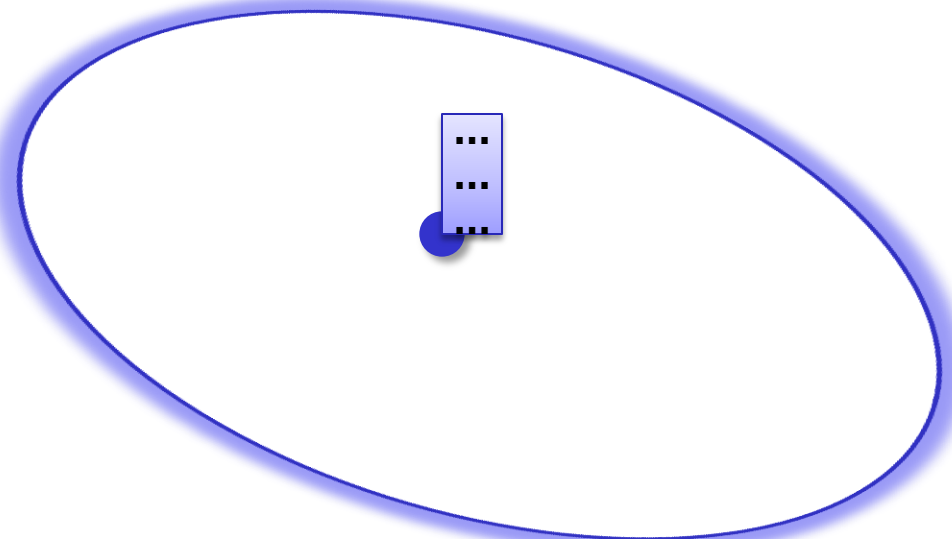
¹GTA/PEE-COPPE/DEL-Poli – UFRJ – Brasil

²LIP6/CNRS – UPMC Sorbonne Universités – França

2nd WNetVirt'13, October 26, 2013, Angra dos Reis, Brazil

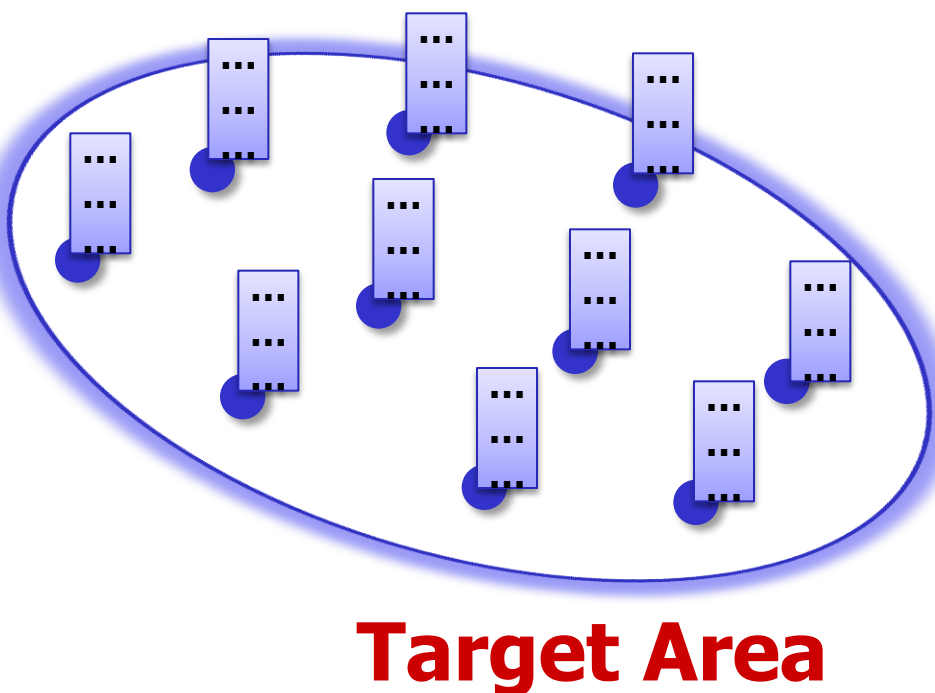
Supported by CAPES, CNPq, Faperj (Brazil), and ANR (France)

State of the Art



Target Area

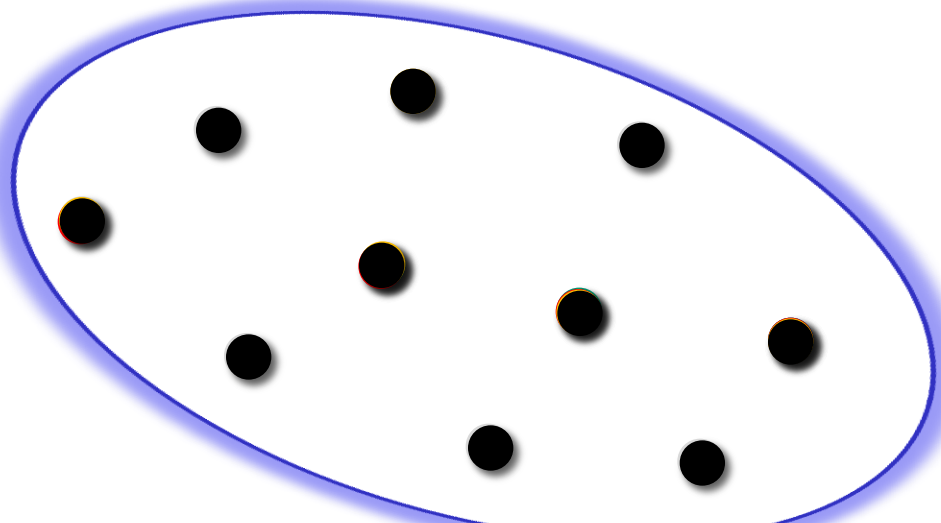
State of the Art



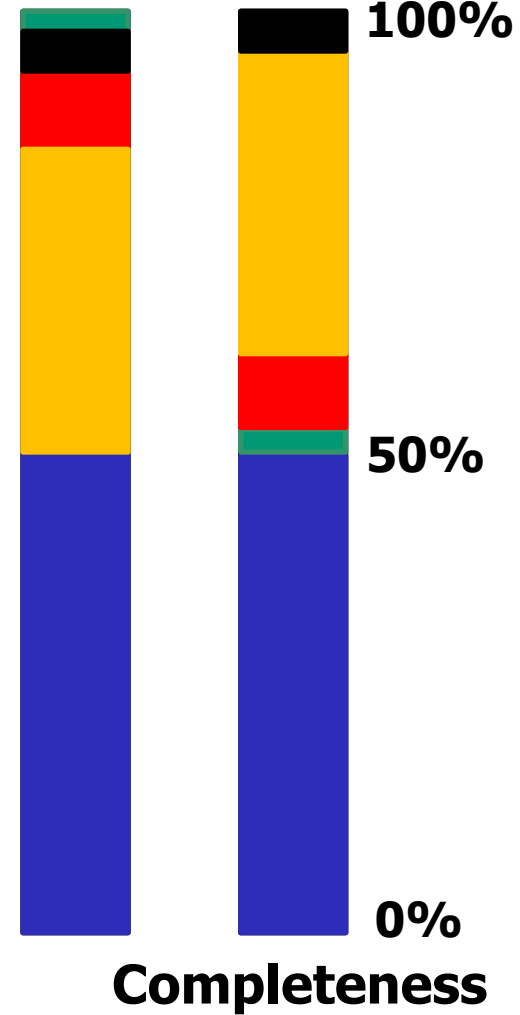
**Central
Unit**

- 1. Synchronization**
- 2. Merging**
- 3. Presentation**

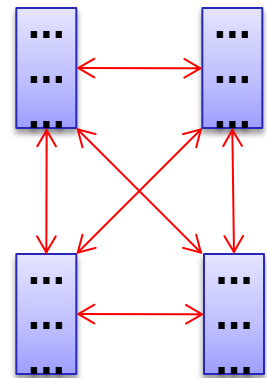
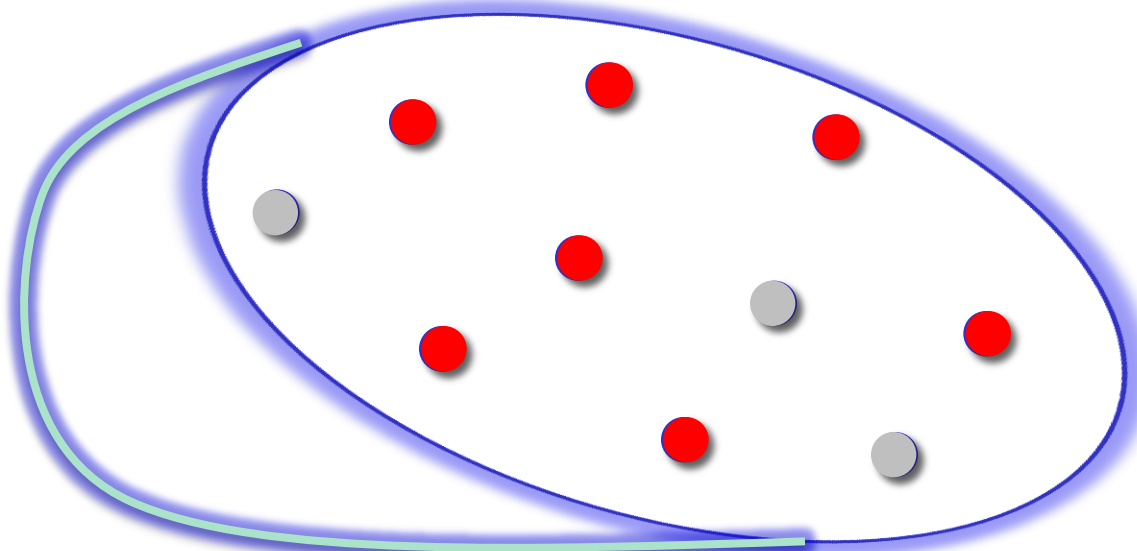
Merging Process



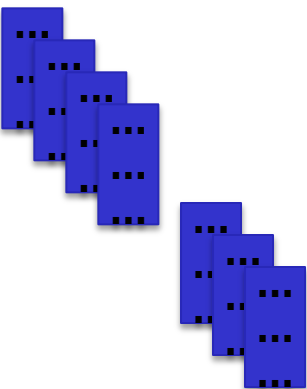
Target Area



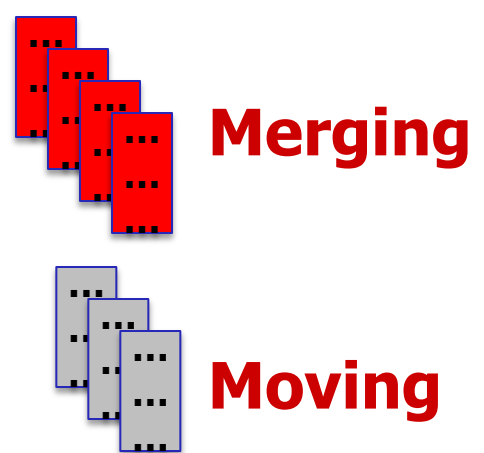
Our Approach



Similarity



Ranking



Merging

Moving

Trace Similarity

Intra-flow similarity:

$$J(t_i, t_j) = \frac{|t_i \cap t_j|}{|t_i \cup t_j|}$$

Inter-flow similarity:

$$\text{TF-IDF}(t_i, l) = \frac{|f_{i \cup j}^l|}{|t_i|} \cdot \log \frac{|\mathcal{T}|}{|\{t_i \in \mathcal{T} | f_{i \cup j}^l \in t_i\}|}$$

$$\text{IFS}(t_i, t_j) = \frac{\sum_l \text{TF-IDF}(t_i, l) \cdot \text{TF-IDF}(t_j, l)}{\sqrt{\sum_l \text{TF-IDF}(t_i, l)^2} \cdot \sqrt{\sum_l \text{TF-IDF}(t_j, l)^2}}$$

Trace Ranking

We consider a fully connected graph $G(V, E)$

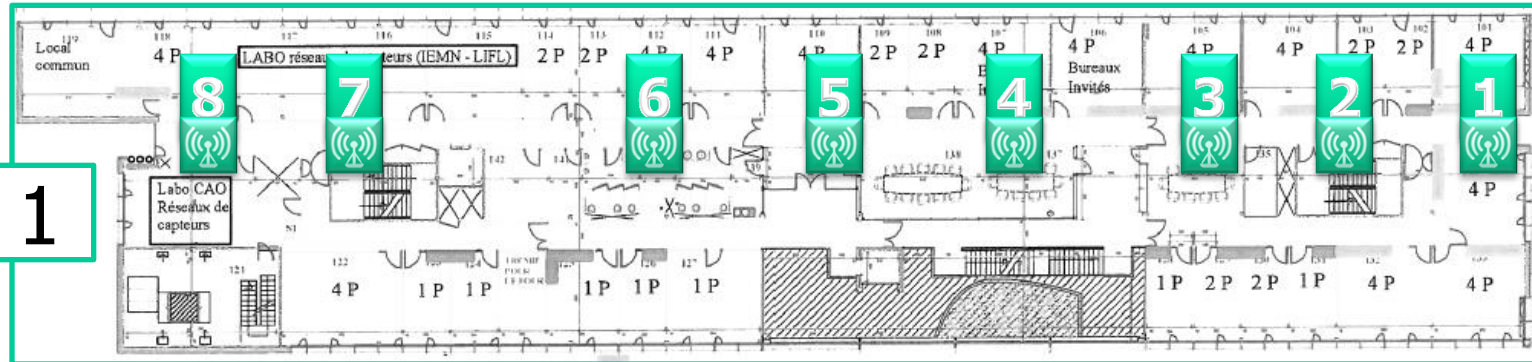
v_i : is the trace captured by the i -th monitor

e_{ij} : has a weight linearly proportional to the similarity between the i -th and the j -th trace

Ranking all the nodes in according to the minimum Hamiltonian path is a good way to iteratively select traces to merge

Experimental Setup

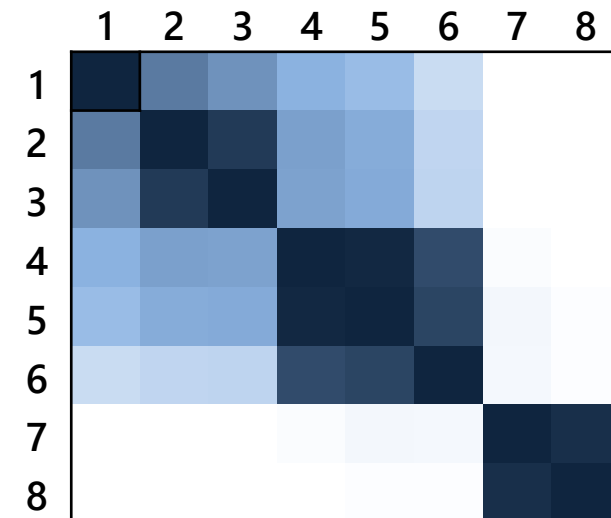
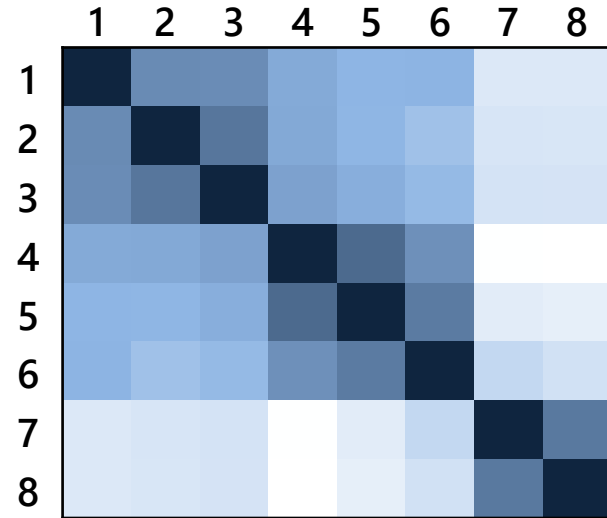
Scenario 1



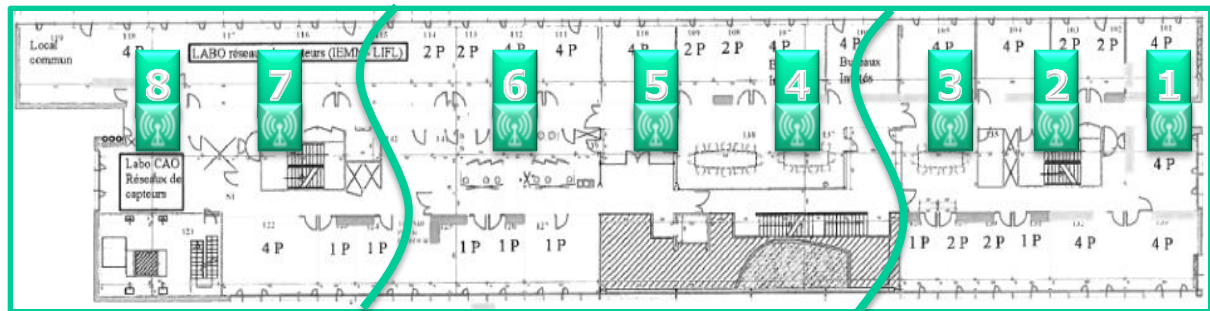
8 monitors
100 minutes

Scenario 2

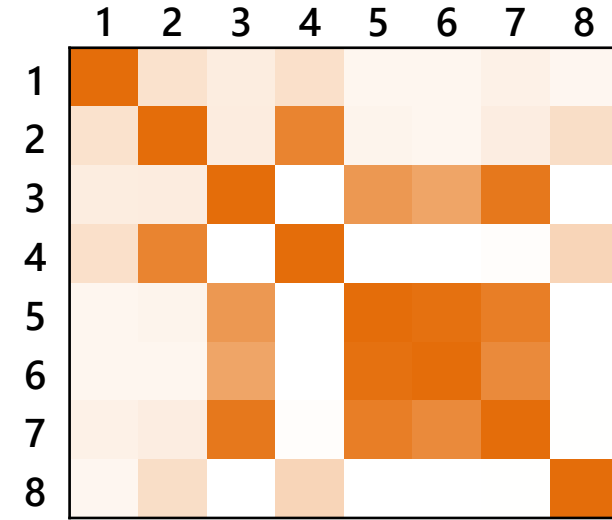
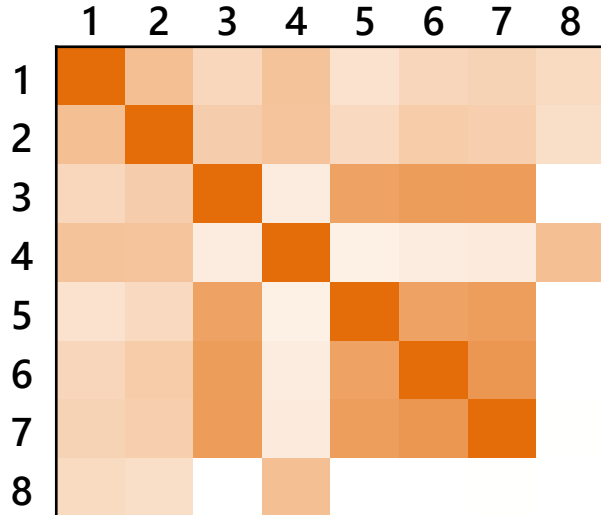
Similarity: Scenario I



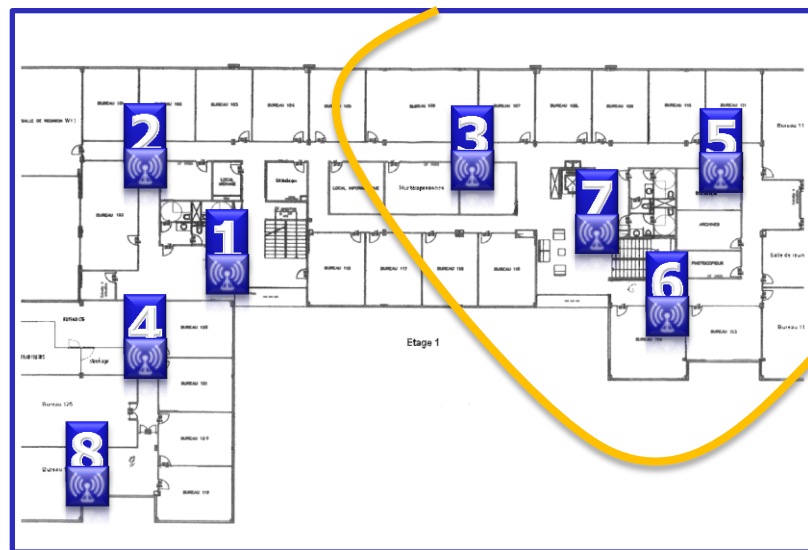
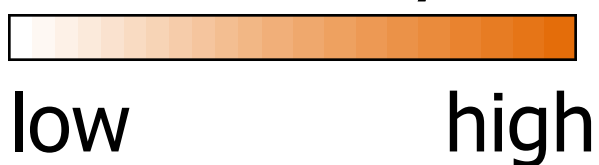
similarity



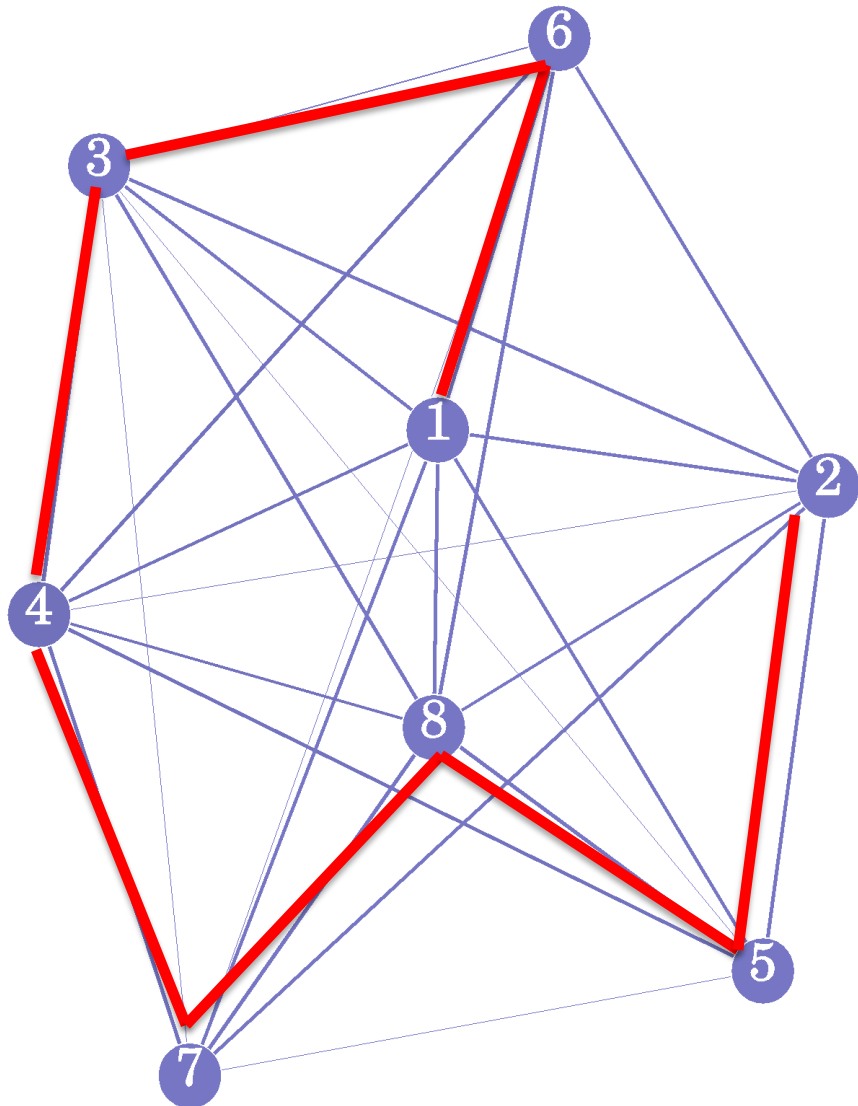
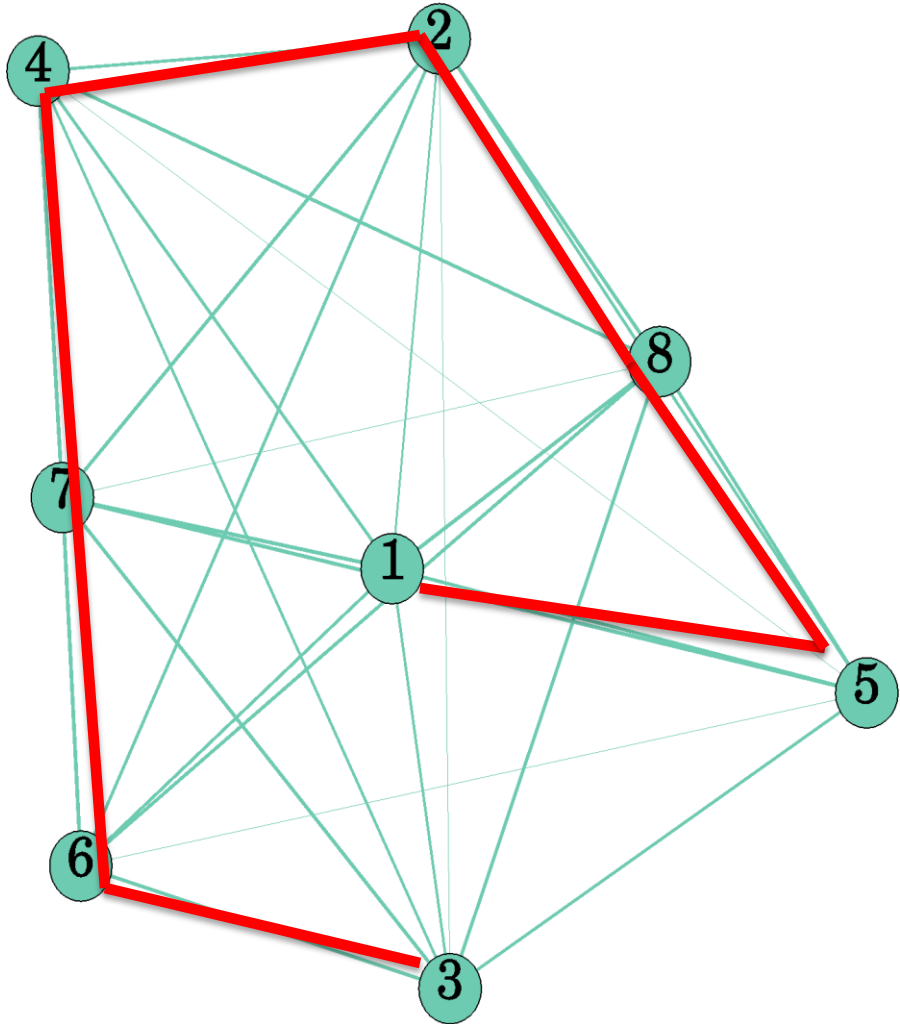
Similarity: Scenario II



similarity



Trace Ranking



Results

Cumulative % of captured traffic

Number of merge operations

100
90
80
70
60
50
40

0

1

2

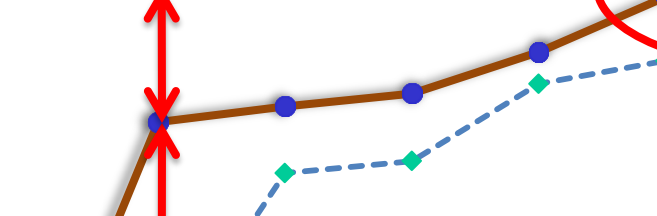
3

4

5

6

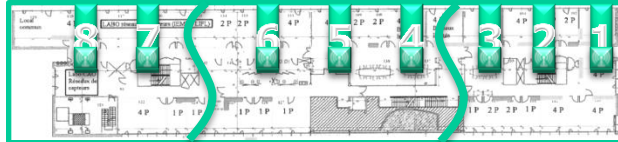
7



100
90
80
70
60
50
40

0 1 2 3 4 5 6 7

— Hamiltonian



Summary

Scalability

Merging is limited to a subset of traces

Effectiveness

Traces merged at the beginning give the higher contribution

Extension

Last ranked monitors can be moved to enlarge the target area

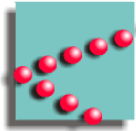
Future Work

Similarity

More similarity metrics

Ranking

Use community detection algorithms to find the exact number of traces to merge



Monitoramento Colaborativo de Redes Sem-fio: Acurácia do Sistema e Denúncia de Farejadores Maliciosos

Miguel Elias M. Campista¹, Matteo Sammarco²,
Marcelo D. de Amorim² e Tahiry Razafindralambo³

¹GTA/PEE-COPPE/DEL-Poli – UFRJ – Brasil

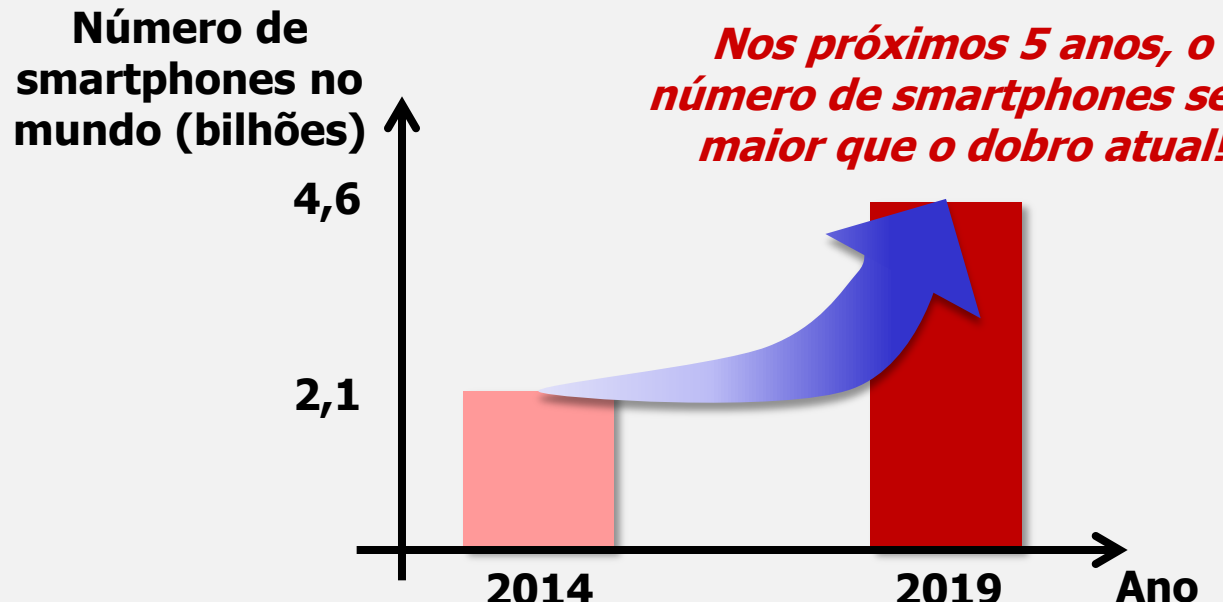
²LIP6/CNRS – UPMC Sorbonne Universités – França

³INRIA Lille Nord Europe – França

WPerformance 2015

Financiado pela CAPES, CNPq e Faperj (Brasil) e ANR (França)

O número de smartphones (dispositivos móveis) vem crescendo aceleradamente ao longo dos anos...



Fonte: Cisco – VNI Forecast Highlights

O que fazer com essa disponibilidade de recursos?

Monitoramento Colaborativo da Rede



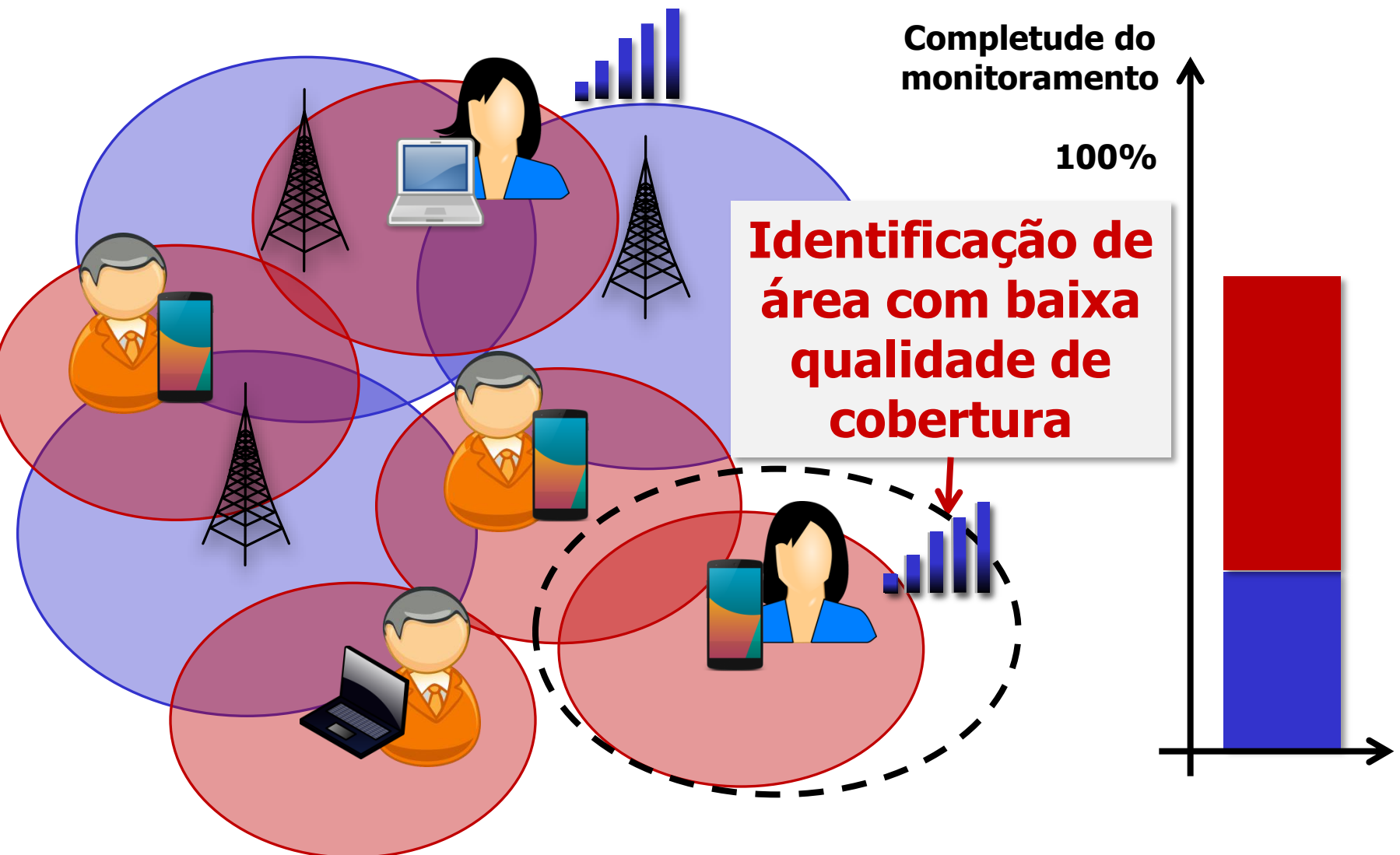
Monitoramento Colaborativo da Rede



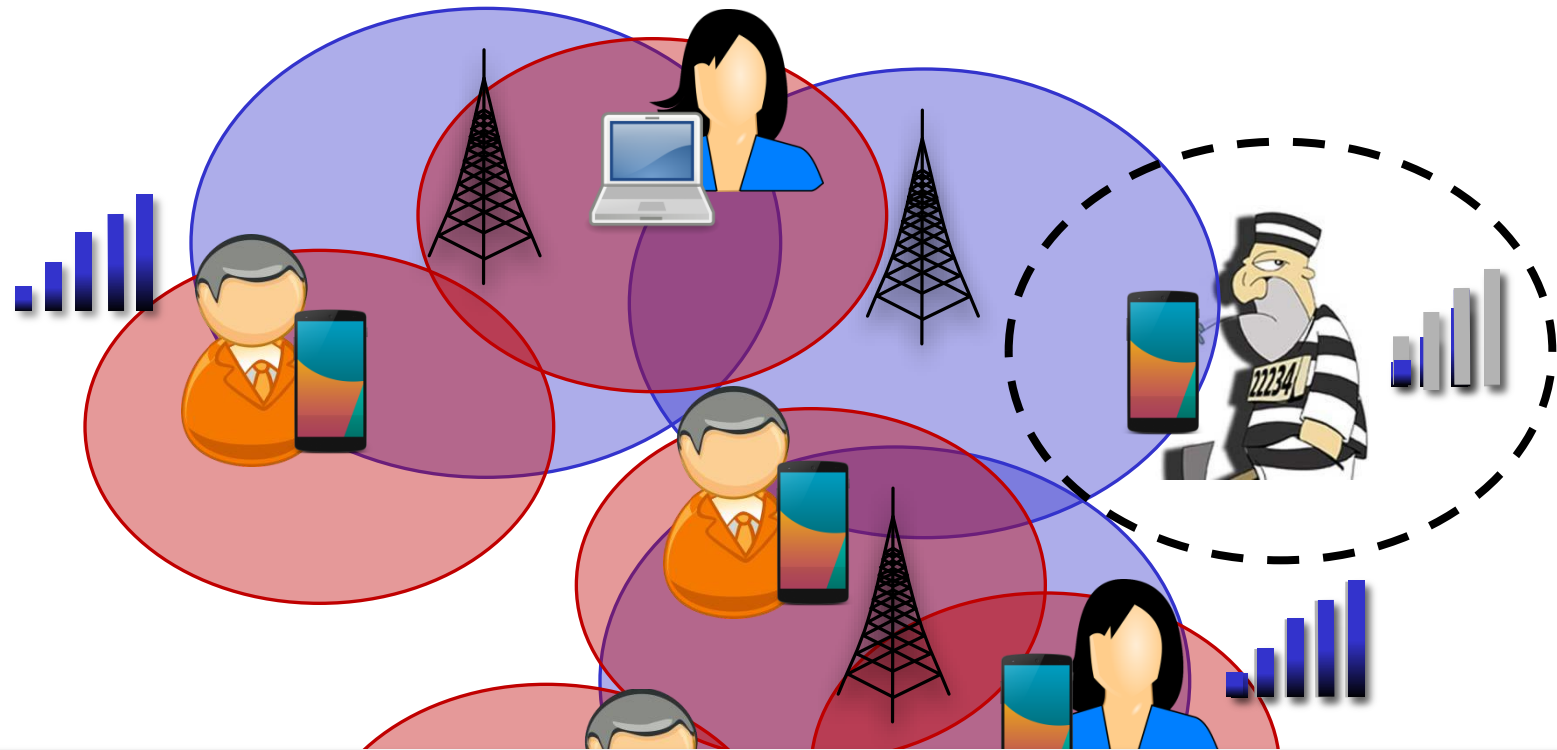
Monitoramento Colaborativo da Rede



Possibilidade de Realizar Replanejamento da Rede



Problema da Colaboração: Presença de Usuários Maliciosos



Mesmo possuindo uma boa cobertura, um usuário malicioso pode atrair recursos anunciando falsa informação de monitoramento...

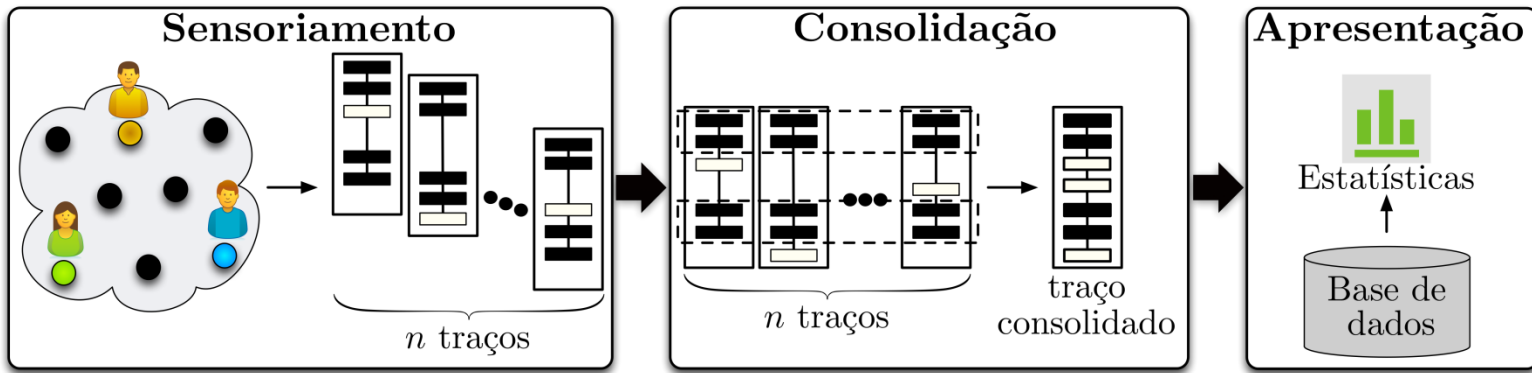
Problema da Colaboração: Presença de Usuários Maliciosos



Contribuições

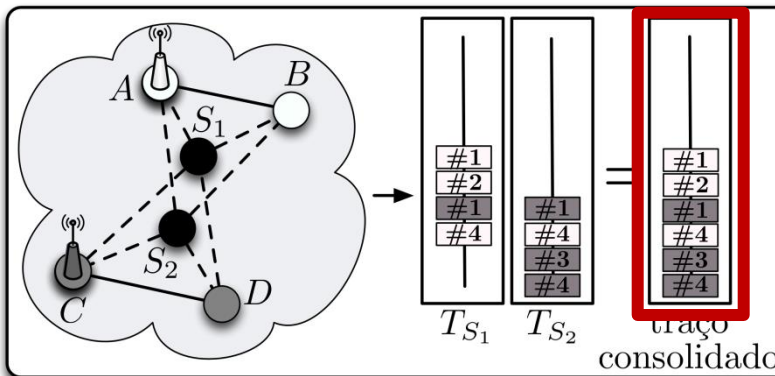
- **Proposta de um sistema de monitoramento colaborativo**
 - Participação dos usuários
- **Identificação de dois possíveis ataques**
 - Ataque de atração e ataque de repulsão
- **Proposta de uma metodologia para a detecção de possíveis nós maliciosos**
 - Metodologia baseada em grafos

Arquitetura



- **Módulo de sensoriamento:**
 - Produz traços de dados compostos por uma sequência de quadros em ordem cronológica de recepção
- **Módulo de consolidação:**
 - Constrói um traço final consolidado
- **Módulo de apresentação:**
 - Armazena e entrega estatísticas de uso da rede

Problema da Colaboração: Consolidação dos Traços de Dados



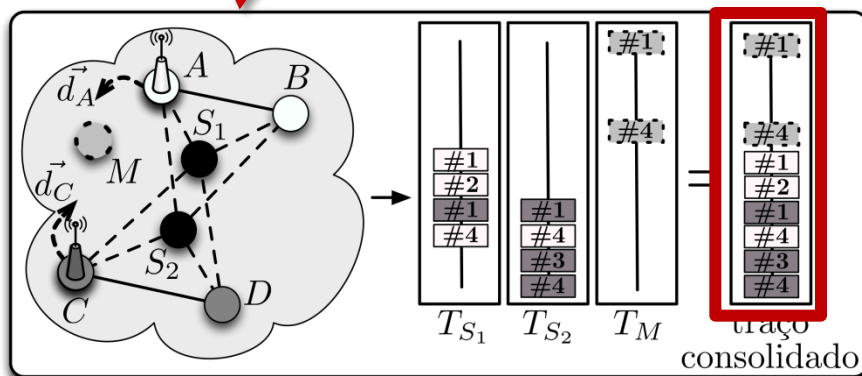
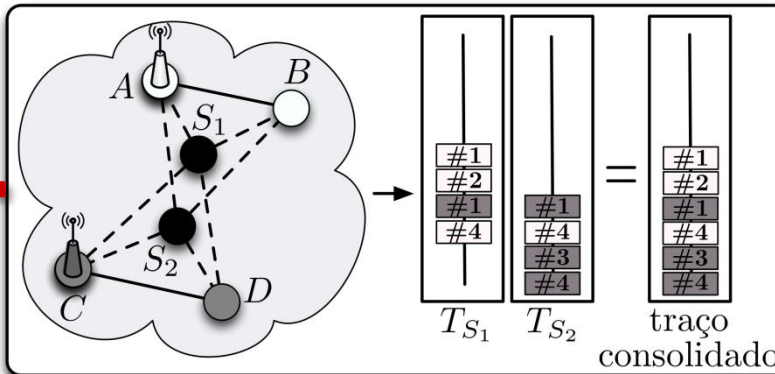
**6/8 pacotes capturados:
75% de completude!**

Traço consolidado = merge dos traços individuais coletados

Merge aumenta a completude do traço final!

Problema da Colaboração: Consolidação dos Traços de Dados

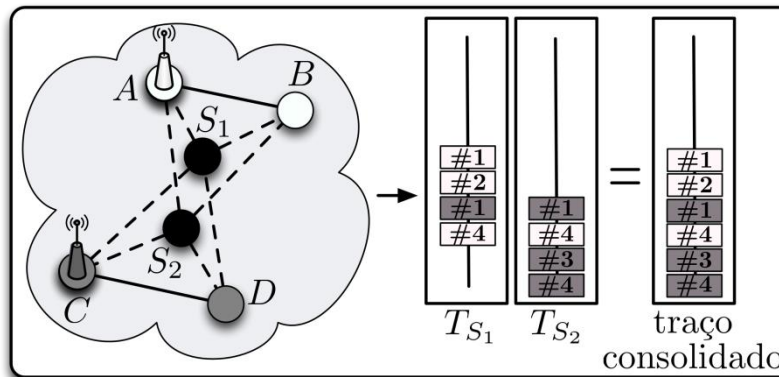
Ataque de
atração



Usuário malicioso cria fluxos de dados com quadros faltantes

**8/12 pacotes capturados:
66% de completude!**

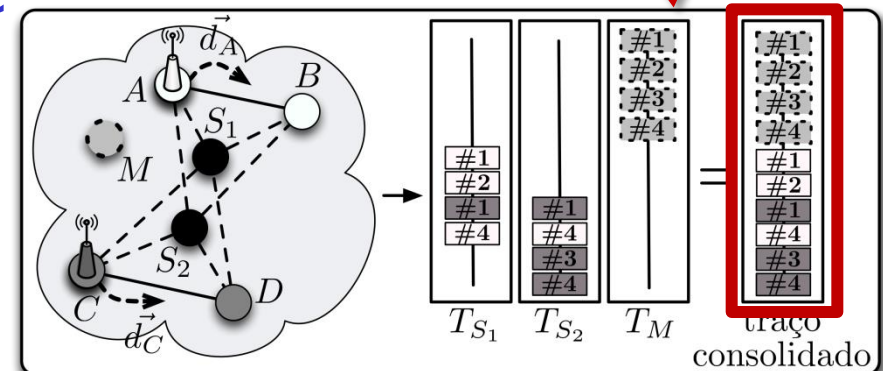
Problema da Colaboração: Consolidação dos Traços de Dados



*Ataque de
repulsão*

Usuário malicioso cria fluxos de dados com todos os quadros

**10/12 pacotes capturados:
83% de completude!**



Acurácia do Sistema

- Taxa de completude \equiv **Acurácia do monitoramento (a)**

$$a = 1 - \frac{m(t)}{s(t)}$$

Quadros perdidos por todos os monitores da rede em um instante t

Quadros enviados por todos os nós da rede em um instante t

Logo, um ataque de atração diminui a , enquanto um de repulsão aumenta a ...

Acurácia do Sistema

- Taxa de completude \equiv **Acurácia do monitoramento (a)**

$$a = 1 - \frac{m(t)}{s(t)}$$

Quadros perdidos por todos os n

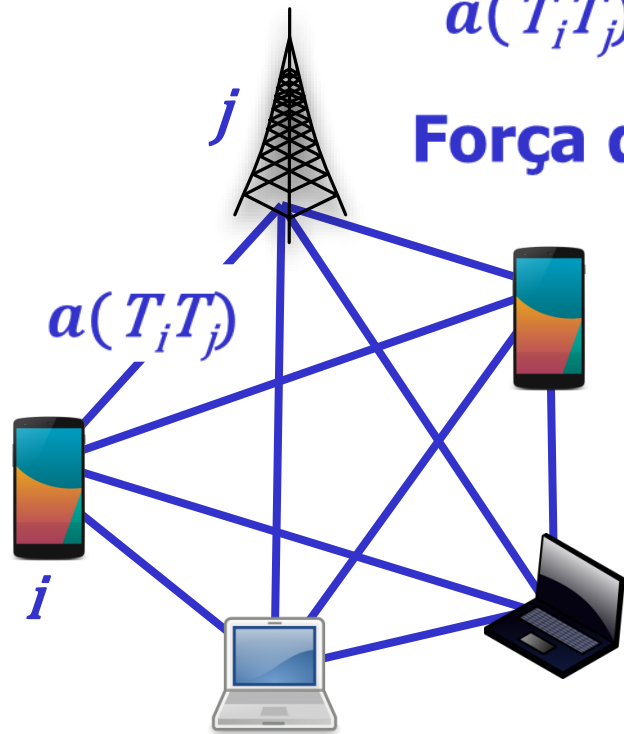
Quadros enviados por todos os n

Independente do ataque, como é possível identificar um atacante?

Logo, um ataque de atração diminui a , enquanto um de repulsão aumenta a ...

Sistema de Detecção

- Modelagem da rede de monitores como um grafo



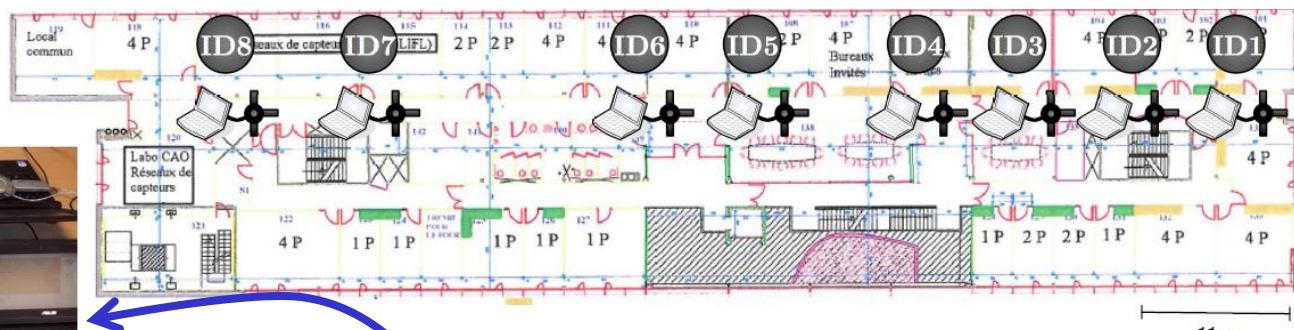
$a(T_i T_j)$: Peso da aresta entre os monitores i e j

Força do vértice: ($\sigma(T_i)$): $\sigma(T_i) = \sum_{j=1}^{|V|} a(T_i T_j)$

Possível monitor malicioso é aquele que possui a força do vértice mais discrepante!

Rede de Testes e Conjunto de Dados

Cenário esparsو



Cenário colocalizado



Acurácia de cada traço em comparação ao consolidado ($\times 10^{-3}$)

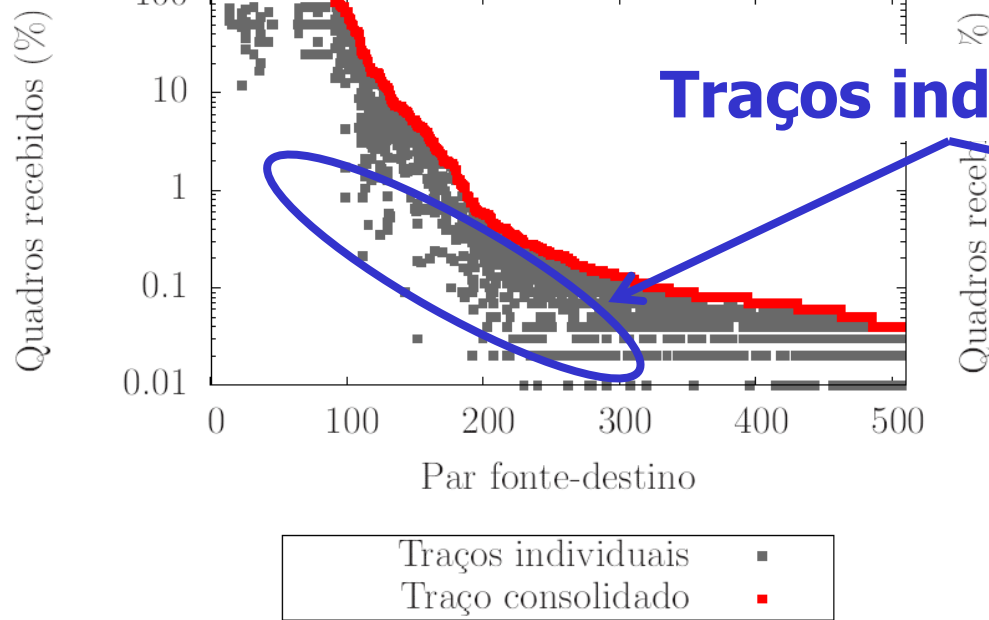
Cenários	Traços								Consolidado
	T_1	T_2	T_3	T_4	T_5	T_6	T_7	T_8	
Colocalizado	1,57	1,58	1,70	1,57	1,99	1,82	2,37	1,71	3,27
Esparsو	0,34	0,29	0,25	1,35	1,01	0,65	0,17	0,12	3,07

Experimentos

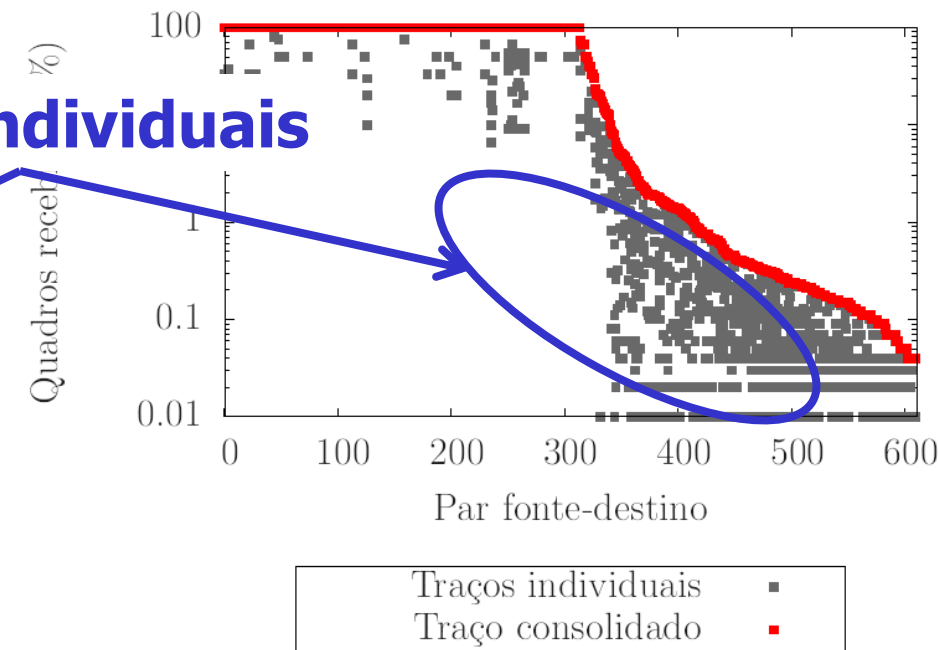
- Desempenho do monitoramento colaborativo em rede livre de atacantes
- Impacto dos ataques identificados e desempenho do sistema de detecção

Fração de Quadros Capturados pelos Diferente Traços

Cenário colocalizado



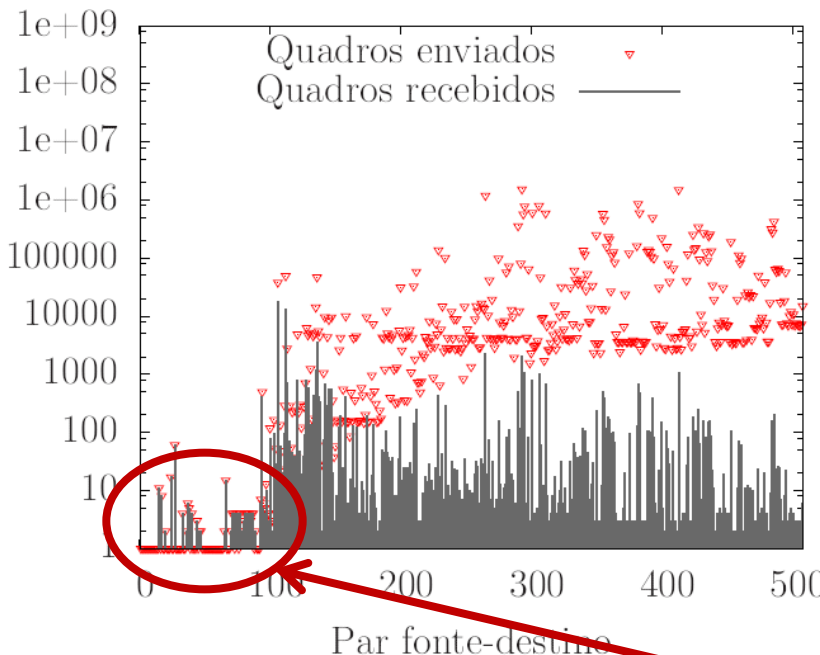
Cenário esparsos



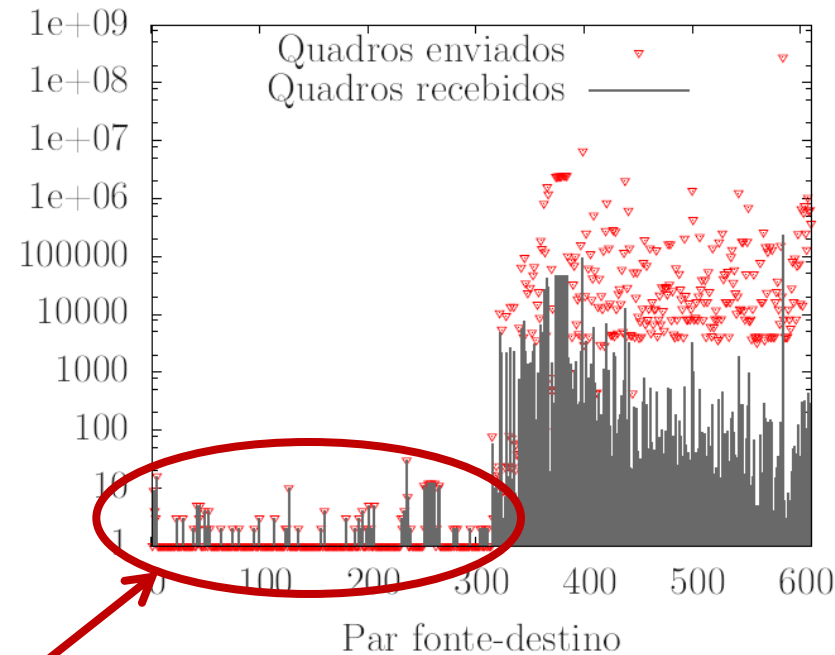
Grande diferença entre a acurácia dos traços individuais e do consolidado

Fração dos Quadros Capturados em Função do Tamanhos dos Fluxos

Cenário colocalizado



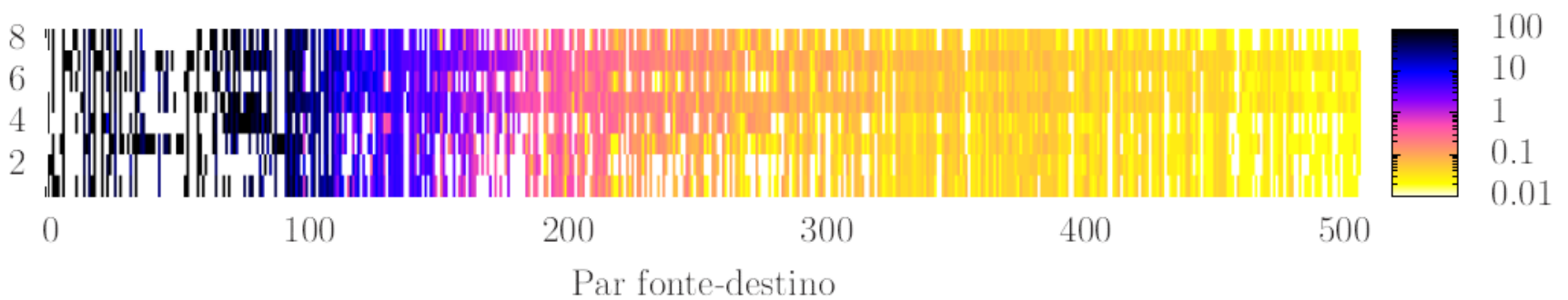
Cenário esparsão



Fluxos com menos quadros têm menor perda...

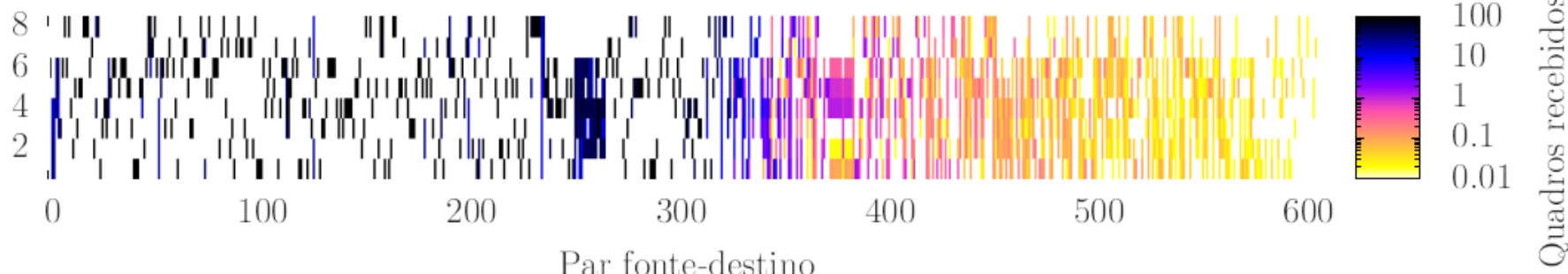
Fração de Quadros Capturados em Função da Posição dos Monitores

Cenário colocalizado

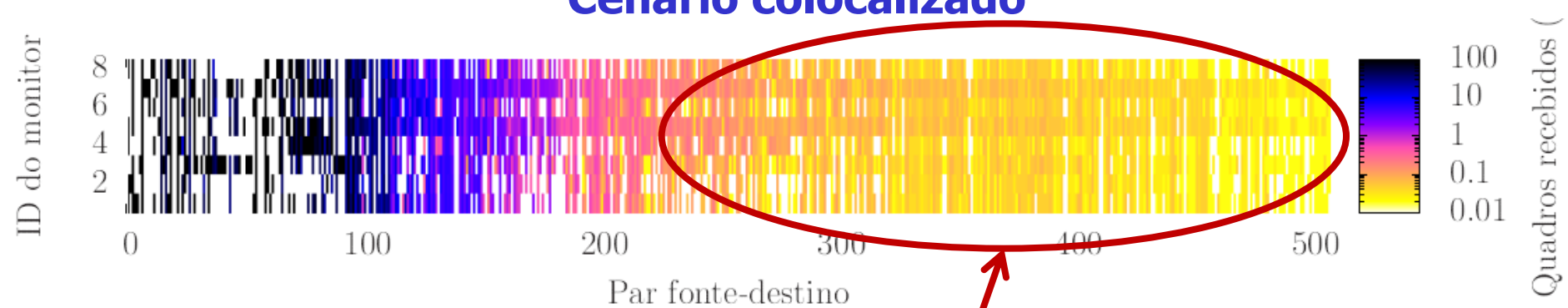


Fração de quadros muda conforme a posição dos monitores...

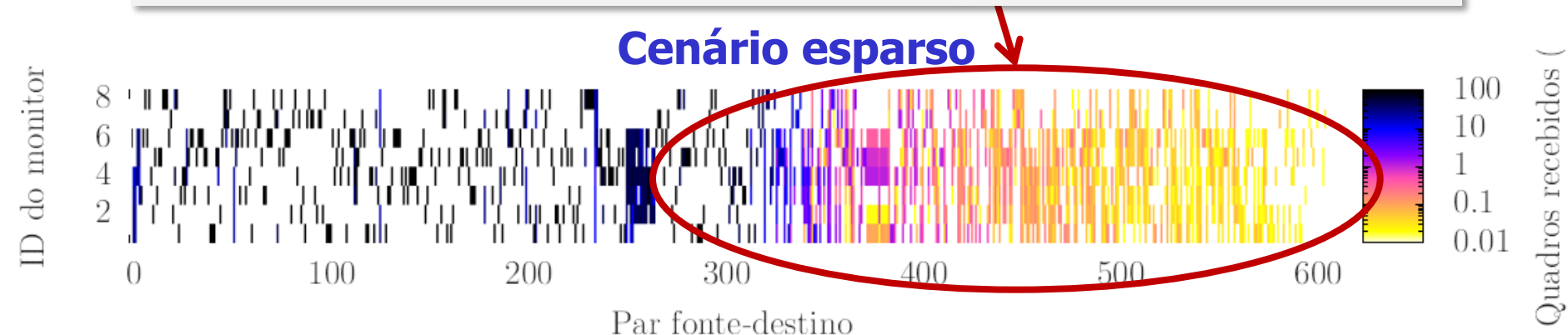
Cenário esparsو



Fração de Quadros Capturados em Função da Posição dos Monitores

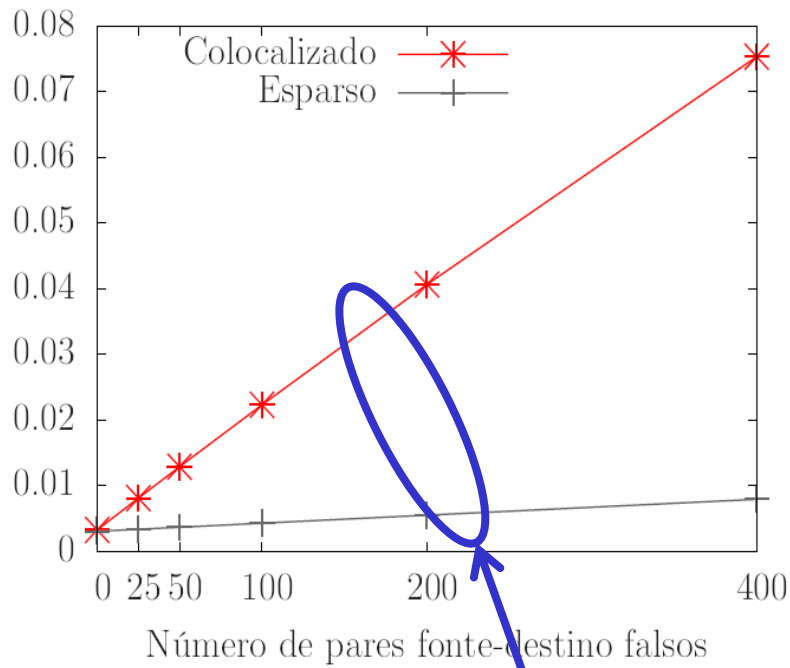


...e o efeito se torna mais evidente em cenários mais esparsos



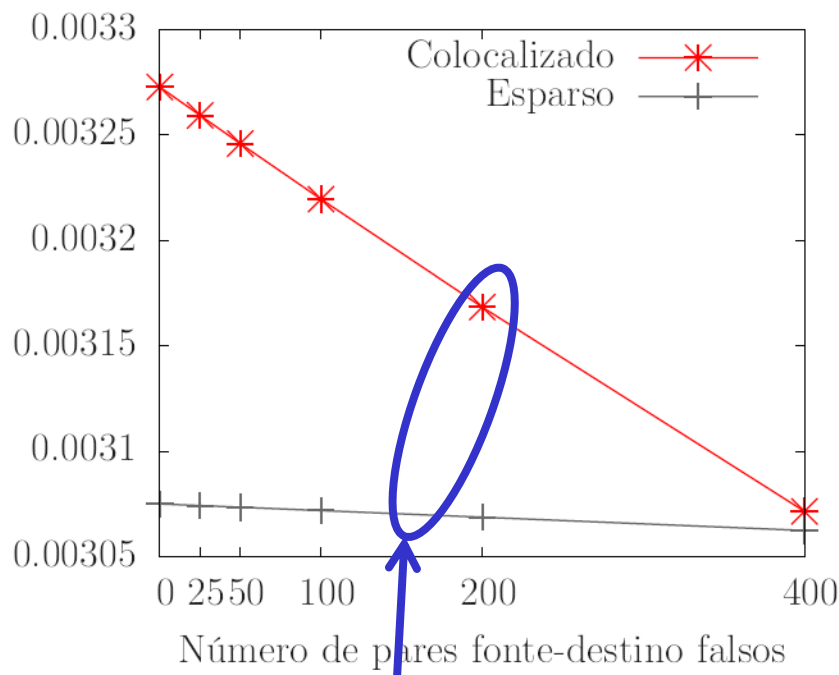
Impacto dos Ataques: Efeito da Participação de Usuários Maliciosos

Ataque de repulsão



**Aumento da acurácia
(2200% e 150%)**

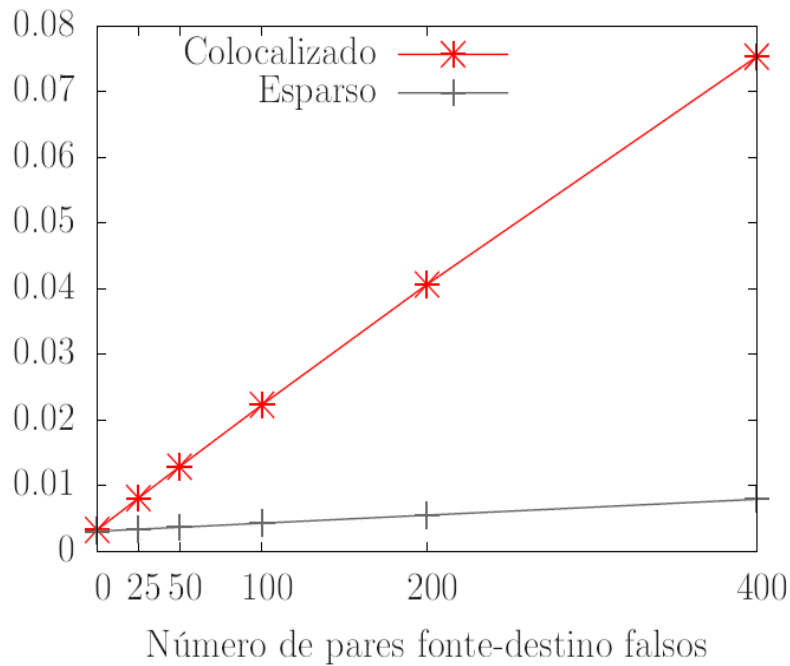
Ataque de atração



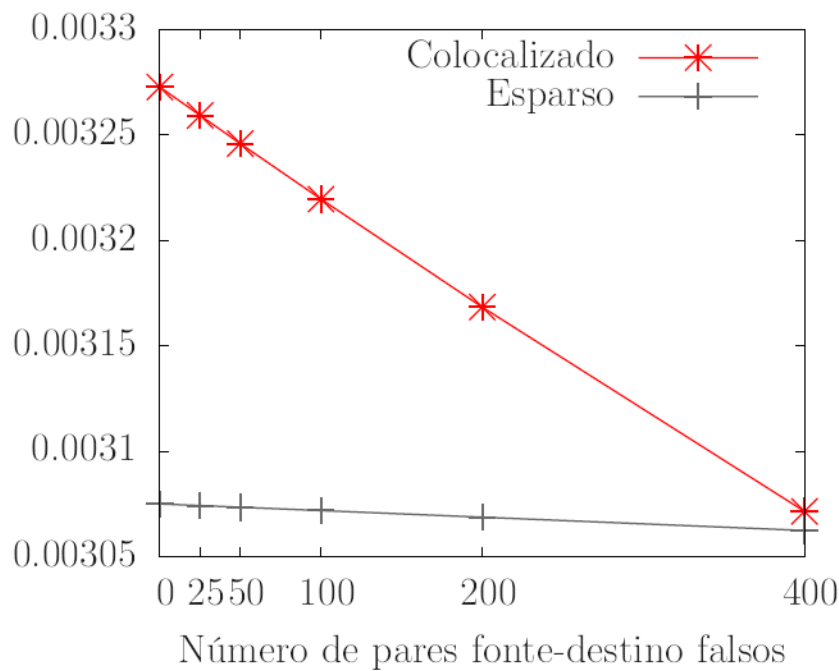
**Redução da acurácia
(6% e 0,4%)**

Impacto dos Ataques: Efeito da Participação de Usuários Maliciosos

Ataque de repulsão



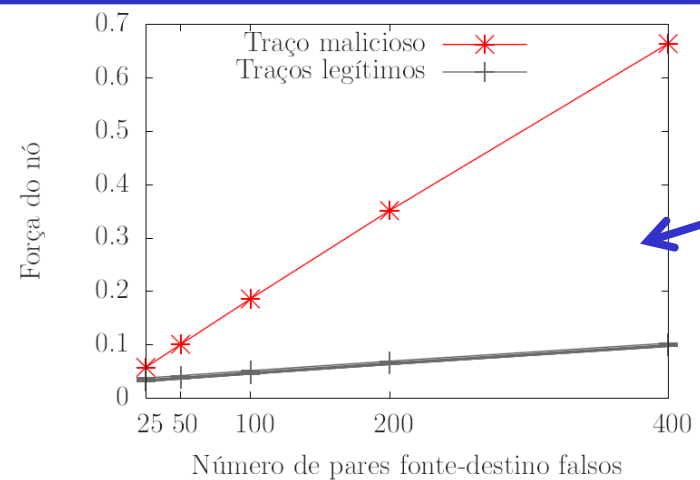
Ataque de atração



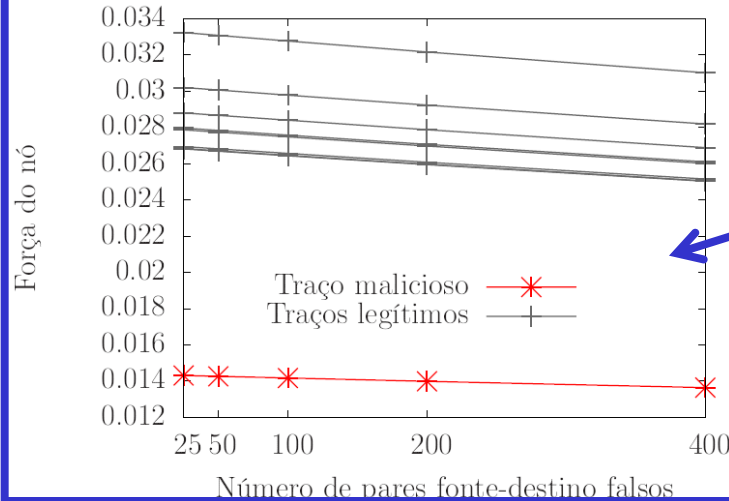
Ataques em cenários densos são mais efetivos, assim como o ataque de repulsão

Detecção de Atacantes Potenciais: Variação da Força dos Monitores

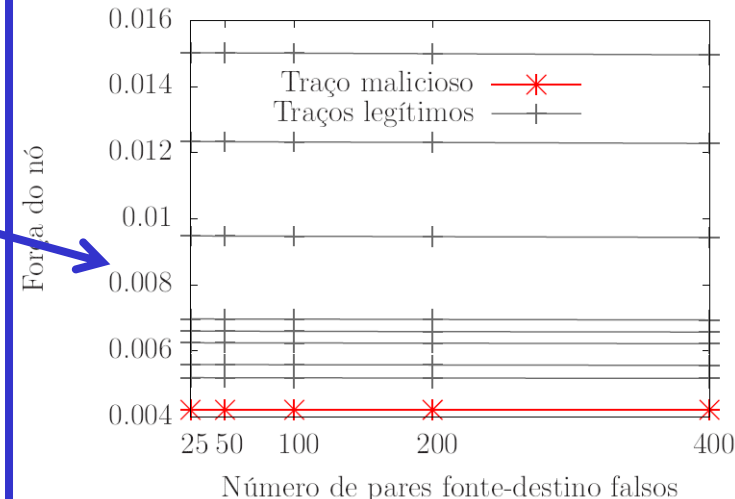
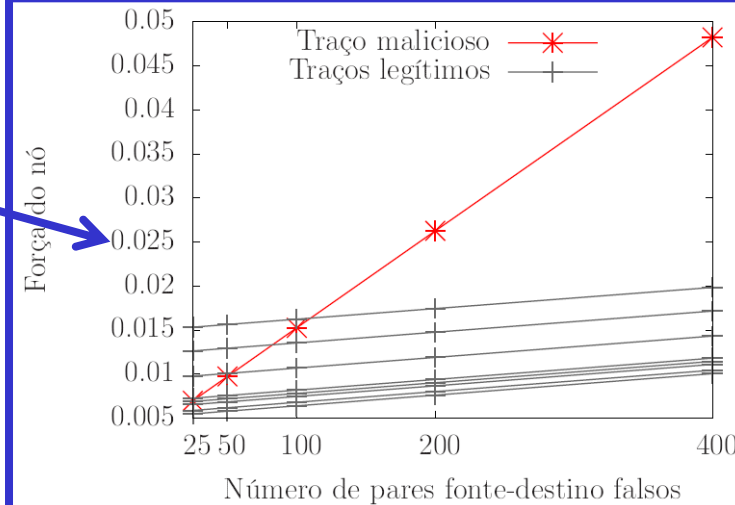
Colocalizado



Ataque de
Repulsão

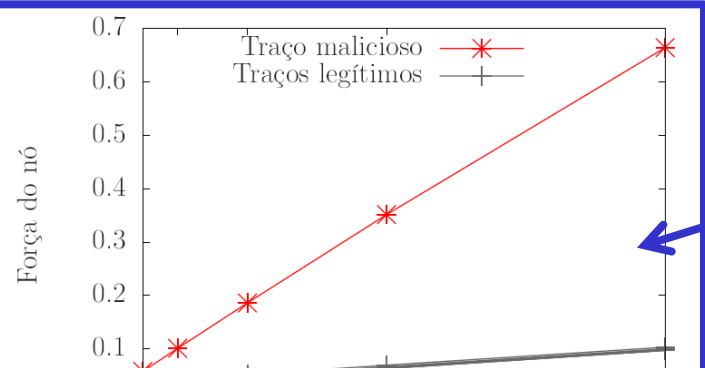


Ataque de
Atração



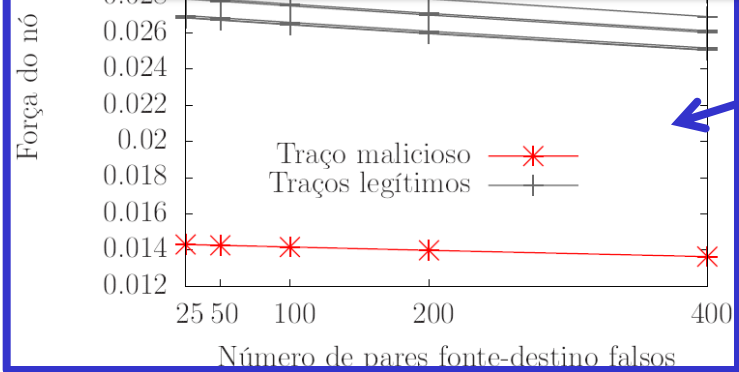
Detecção de Atacantes Potenciais: Variação da Força dos Monitores

Colocalizado



Ataque de
Repulsão

A diferença de força entre os nós legítimos e os nós maliciosos pode ser usada para identificação dos atacantes



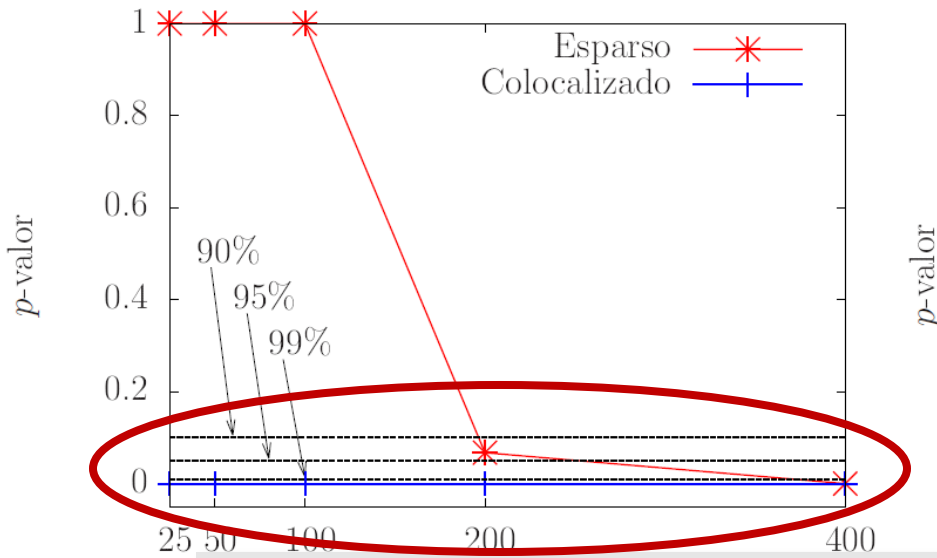
Ataque de
Atração



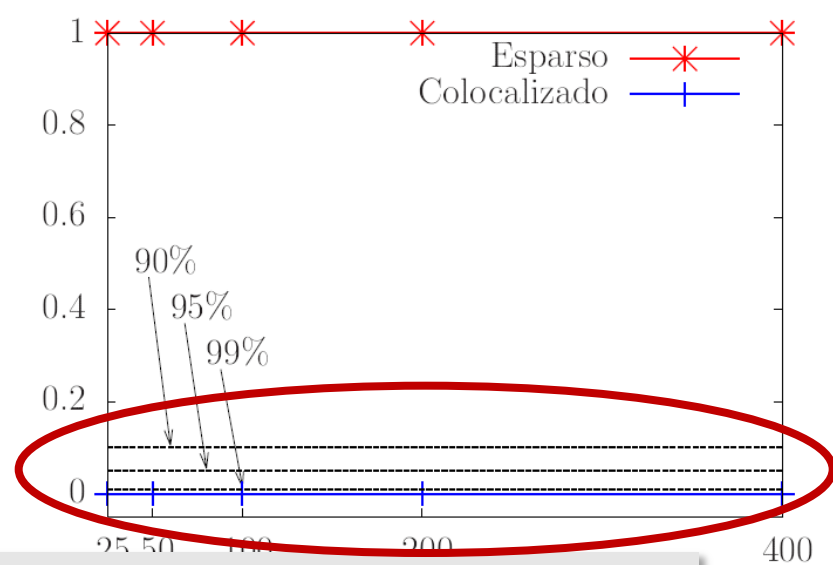
Detecção de Atacantes Potenciais: Teste de Detecção de *Outlier*

- Hipótese do traço malicioso *não ser um outlier...*

Ataque de repulsão



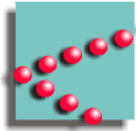
Ataque de atração



**Hipótese rejeitada no cenários colocalizado
e no cenário esparsos para muitos nós**

Conclusões e Trabalhos Futuros

- Trabalho demonstrou:
 - Acurácia aumenta com o número de traços
 - Participação de usuários pode levar a ataques
 - Ataques podem ser detectados em certas condições
- Trabalhos futuros
 - Realização de mais experimentos
 - Aprimoramento do sistema de detecção



Monitoramento Colaborativo de Redes Sem-fio: Acurácia do Sistema e Denúncia de Farejadores Maliciosos

Miguel Elias M. Campista¹, Matteo Sammarco²,
Marcelo D. de Amorim² e Tahiry Razafindralambo³

¹GTA/PEE-COPPE/DEL-Poli – UFRJ – Brasil

²LIP6/CNRS – UPMC Sorbonne Universités – França

³INRIA Lille Nord Europe – França

WPerformance 2015

Financiado pela CAPES, CNPq e Faperj (Brasil) e ANR (França)